

ФИЗИКО-ХИМИЧЕСКИЙ АНАЛИЗ
НЕОРГАНИЧЕСКИХ СИСТЕМ

УДК 544.33+546.6

ТЕРМОХИМИЧЕСКОЕ ИССЛЕДОВАНИЕ
ОКСИДА ВИСМУТА-КОБАЛЬТА-ДИСПРОЗИЯ:
ЭНТАЛЬПИЯ ОБРАЗОВАНИЯ, ЭНТАЛЬПИЯ РЕШЕТКИ

© 2023 г. Н. И. Мацкевич^a, *, А. Н. Семерикова^a, Н. В. Гельфонд^a,
В. П. Зайцев^{a, b}, М. Ю. Мацкевич^a, О. И. Ануфриева^a, А. А. Федоров^a

^aИнститут неорганической химии им. А.В. Николаева СО РАН,
пр-т Академика Лаврентьева, 3, Новосибирск, 630090 Россия

^bСибирский государственный университет водного транспорта,
ул. Щетинкина, 33, Новосибирск, 630033 Россия

*e-mail: nata.matskevich@yandex.ru

Поступила в редакцию 01.07.2023 г.

После доработки 14.08.2023 г.

Принята к публикации 25.08.2023 г.

Методом твердофазных реакций получен оксид висмута-кобальта-диспрозия состава $\text{Bi}_{12.5}\text{Dy}_{1.5}\text{CoO}_{22.325}$. Показано, что соединение имеет кубическую структуру, пр. гр. Fmm , параметр решетки $a = 0.55279(5)$ нм. Энталпия растворения и стандартная энталпия образования для соединения $\text{Bi}_{12.5}\text{Dy}_{1.5}\text{CoO}_{22.325}$ измерены методом калориметрии растворения и составили: $\Delta_{\text{sol}}H^0 = -1017.0 \pm 7.5$ кДж/моль, $\Delta_fH^0 = -5338.8 \pm 19.9$ кДж/моль соответственно. С использованием цикла Борна–Габера рассчитана энталпия решетки: $\Delta_{\text{lat}}H^0 = -99020$ кДж/моль. Показано, что энталпия решетки увеличивается по абсолютной величине с уменьшением радиуса редкоземельного элемента в ряду неодим–диспрозий–гольмий.

Ключевые слова: оксид висмута, оксид кобальта, оксид диспрозия, энталпия образования, энталпия решетки

DOI: 10.31857/S0044457X23601402, **EDN:** BWNIYL

ВВЕДЕНИЕ

Соединения на основе оксидов висмута, редкоземельных и переходных элементов являются перспективными материалами для использования в электрокатализе, кислородных керамических генераторах, электролитах топливных элементов, газовых сенсорах и др. [1–10]. Одним из уникальных свойств этих соединений является высокая ионная проводимость в области средних температур, связанная с существованием δ -формы оксида висмута ($\delta\text{-Bi}_2\text{O}_3$), которая имеет кубическую структуру флюорита. Ионная проводимость δ -формы оксида висмута составляет $\sigma = 1$ См/см при 750°C .

Известно, что в системе Bi–O существуют только две стабильные фазы: $\alpha\text{-Bi}_2\text{O}_3$ и $\delta\text{-Bi}_2\text{O}_3$. Фаза $\alpha\text{-Bi}_2\text{O}_3$ имеет моноклинную структуру и является стабильной от комнатной температуры до 730°C , в то время как фаза $\delta\text{-Bi}_2\text{O}_3$ является устойчивой от 730°C до температуры плавления. Большое количество исследований было предпринято для стабилизации δ -формы оксида висмута до комнатных температур. Для этого проводили за-

мещение висмута как изовалентными (лантаноидами и др.), так и неизовалентными (вольфрам, ниобий) элементами [11–15]. В соединениях на основе оксида висмута, замещенных редкоземельными элементами (РЗЭ), обнаружена следующая тенденция. Ионная проводимость увеличивается с ростом радиуса РЗЭ, но стабильность при этом уменьшается [16, 17]. Таким образом, существует корреляция между ионной проводимостью и стабильностью.

Наибольшие успехи при замещении δ -формы оксида висмута были достигнуты для соединений $\text{Bi}_{12.5}\text{RE}_{1.5}\text{ReO}_{24.5}$, когда было проведено замещение висмута на рений и редкоземельные элементы [18, 19]. В данном случае удалось провести замещение на все редкоземельные элементы от лантана до лютеция. Ионная проводимость полученных новых соединений $\text{Bi}_{12.5}\text{RE}_{1.5}\text{ReO}_{24.5}$ сравнивается с ионной проводимостью висмут-ванадиевых оксидов, замещенных РЗЭ [20, 21].

В работе [22] представлен обзор термодинамических свойств для соединений $\text{Bi}_{12.5}\text{RE}_{1.5}\text{ReO}_{24.5}$ со всеми лантаноидами (от лантана до лютеция).

На основе экспериментальных исследований показано, что энталпия решетки уменьшается от лютения до лантана. Сравнение с ионной проводимостью показывает, что ионная проводимость увеличивается при переходе от соединений с лютием к соединениям с лантаном. Отсюда следует очень важный вывод о важности изучения термодинамических свойств ионных проводников, которые позволяют предсказывать направление изменения как термодинамических характеристик, так и ионной проводимости.

Как показано в литературе, перренаты являются достаточно гигроскопичными. Кроме того, рений является дорогостоящим элементом. В связи с этим в настоящей работе получено соединение, в котором висмут замещен на кобальт и диспрозий. Выбор кобальта обусловлен тем, что в ряде соединений он, как и рений в соединениях $\text{Bi}_{12.5}\text{RE}_{1.5}\text{ReO}_{24.5}$, имеет тетрагональную координацию.

Целью настоящей работы является термохимическое исследование оксида висмута-кобальта-диспрозия методом реакционной калориметрии, расчет стандартной энталпии образования и энталпии решетки.

ЭКСПЕРИМЕНТАЛЬНАЯ ЧАСТЬ

Соединение состава $\text{Bi}_{12.5}\text{Dy}_{1.5}\text{CoO}_{22.325}$ было синтезировано методом твердофазных реакций [23]. Для синтеза использовали следующее оборудование: весы аналитические (точность 0.0001 г) ВЛ-224В-С, планетарную мельницу Fritsch Pulverisette 6, пресс гидравлический ПГР-400, печь SNOL 4/1300.

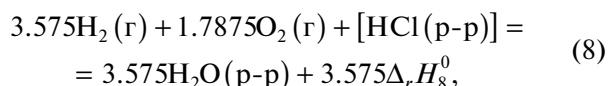
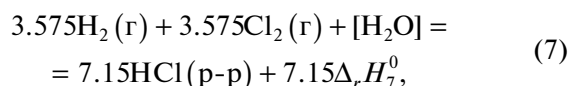
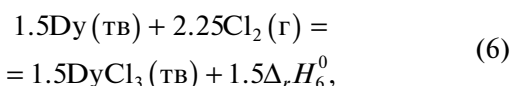
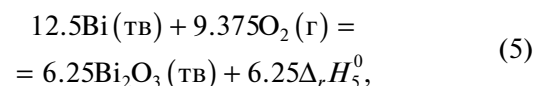
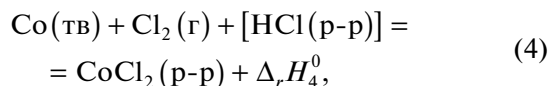
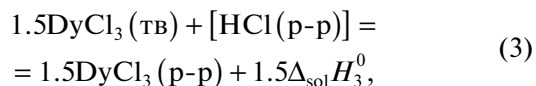
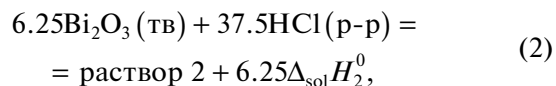
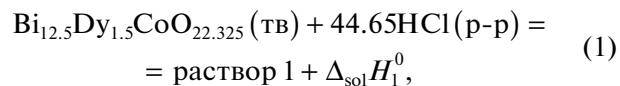
Для получения оксида висмута-кобальта-диспрозия применяли следующие прекурсоры: Bi_2O_3 (99.999%, Институт неорганической химии СО РАН), Co_3O_4 , Dy_2O_3 (>99.9%, Новосибирский завод редких металлов). Перед проведением синтеза оксиды прокаливали при температуре 773 К до постоянного веса с целью удаления адсорбированных веществ.

Соединение $\text{Bi}_{12.5}\text{Dy}_{1.5}\text{CoO}_{22.325}$ было приготовлено следующим образом. Необходимую для синтеза стехиометрическую смесь взвешивали и измельчали в планетарной мельнице в течение 30 ч с несколькими промежуточными перетираниями. После этого смесь прессовали в таблетки и нагревали в печах на воздухе при температуре 1073 К в течение 50 ч.

Рентгенофазовый анализ продукта синтеза выполняли на приборе Shimadzu XRD-7000 (CuK_α -излучение) при комнатной температуре. Поликристаллы растирали в агатовой ступке вместе с гептаном и упаковывали полученную суспензию в углубление стандартной кварцевой кюветы.

Определение энталпии растворения исследуемого соединения и прекурсоров проводили в автоматизированном калориметре растворения с изотермической оболочкой при температуре 298.15 К. Конструкция калориметра и процедура измерений детально описаны в работах [24, 25]. Для определения энталпий растворения вещества измельчали, помешали в ампулы из молибденового стекла и запаивали, после чего ампулы помещали в калориметр. Массу образцов определяли с использованием электронных весов ВЛ-224В-С с погрешностью 0.0001 г. Масса навески для измерения составляла ~50 мг. В качестве калибровочного образца использовали хлорид калия (KCl). Растворение хлорида калия было выполнено в дистиллированной воде при 298.15 К для того, чтобы откалибровать калориметр. Полученная нами энталпия растворения хлорида калия составила 17.41 ± 0.08 кДж/моль. Величина хорошо согласуется с рекомендованными в литературе значениями: 17.42 ± 0.02 кДж/моль [26] и 17.47 ± 0.07 кДж/моль [27].

Для определения стандартной энталпии образования $\text{Bi}_{12.5}\text{Dy}_{1.5}\text{CoO}_{22.325}$ был построен термохимический цикл. Цикл был построен таким образом, что энталпия растворения соединения $\text{Bi}_{12.5}\text{Dy}_{1.5}\text{CoO}_{22.325}$ сравнивалась с энталпиями растворения оксида висмута, хлорида кобальта и хлорида диспрозия. Схема термохимического цикла для определения стандартной энталпии образования $\text{Bi}_{12.5}\text{Dy}_{1.5}\text{CoO}_{22.325}$ представлена ниже. В качестве растворителя использовали 1 М раствор соляной кислоты.



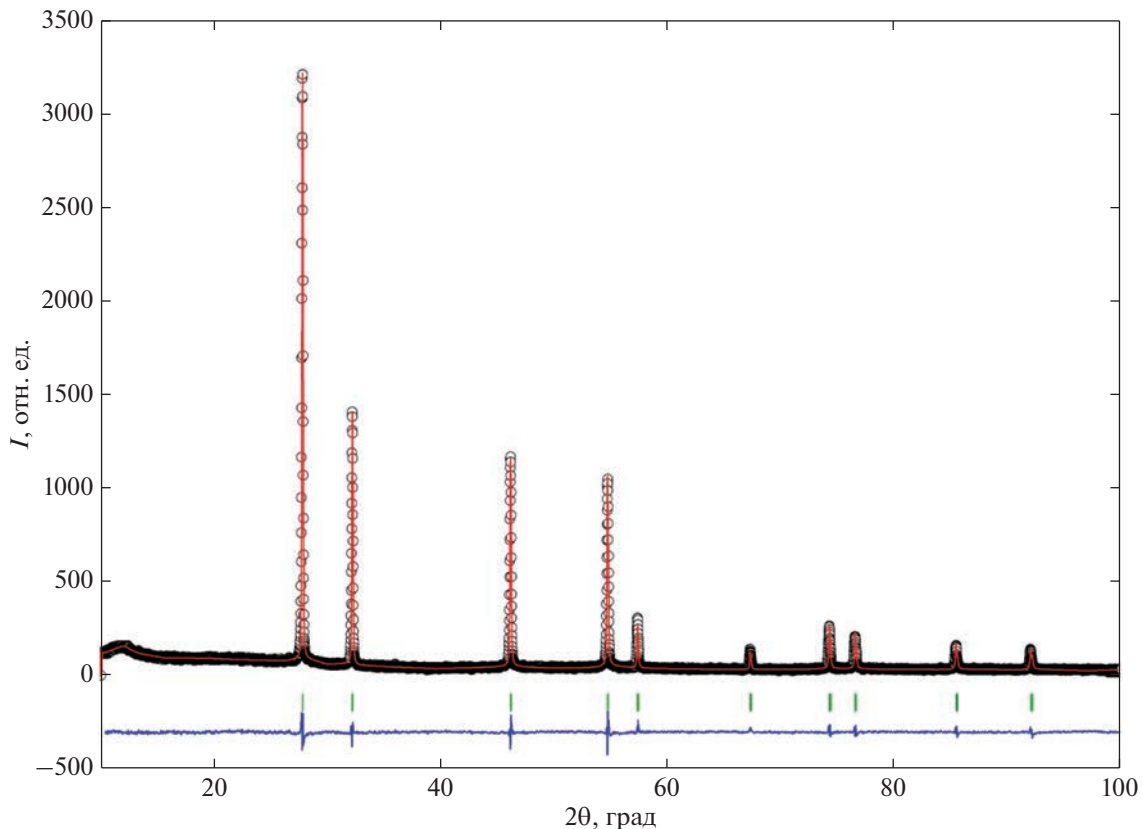
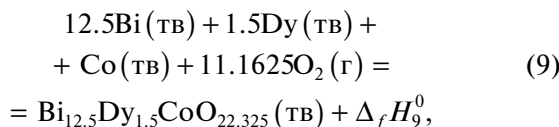
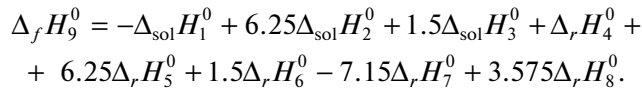


Рис. 1. Дифрактограмма образца $\text{Bi}_{12.5}\text{Dy}_{1.5}\text{CoO}_{22.325}$ (черная – экспериментальная, красная – расчетная, зеленая – разностная).



где $\Delta_f H_9^0$ – стандартная энталпия образования $\text{Bi}_{12.5}\text{Dy}_{1.5}\text{CoO}_{22.325}$.

Согласно закону Гесса, можно записать:



РЕЗУЛЬТАТЫ И ОБСУЖДЕНИЕ

Рентгенофазовый анализ подтвердил, что изучаемое соединение является индивидуальной фазой и имеет кубическую решетку (пр. гр. $Fm\bar{3}m$) с параметром решетки $a = 0.55279(5)$ нм. Дифрактограмма образца представлена на рис. 1. Фотоэмиссионная спектроскопия, выполненная в диапазоне энергии фотонов 775–800 эВ, показала, что соединение $\text{Bi}_{12.5}\text{Dy}_{1.5}\text{CoO}_{22.325}$ включает 35% Co^{2+} и 65% Co^{3+} .

Соединение $\text{Bi}_{12.5}\text{Dy}_{1.5}\text{CoO}_{22.325}$ было проанализировано методами химического анализа и масс-

спектрометрии. Результаты химического анализа показали, что соединение имеет чистоту на уровне 99%.

Содержание примесей исследовали методом количественного атомно-эмиссионного спектрально-химического анализа на спектрометре Thermo-Scientific ICAP-6500. Анализ на примеси металлов Ho, Eu, Yb, La, Tm, Er, Pr, Sm, Te, Ca, Mg, Mn, Pb, Ag показал, что общее содержание примесей не превышает 10⁻⁴ ат. %. Содержание кислорода было определено методом восстановительного плавления и составило $10.89 \pm 0.04\%$, рассчитано – 10.92%.

Для определения стандартной энталпии образования было проведено по шесть параллельных опытов для энталпий растворения оксида висмута и соединения $\text{Bi}_{12.5}\text{Dy}_{1.5}\text{CoO}_{22.325}$ в 1 М соляной кислоте. Энталпия растворения исследуемого соединения составила: $\Delta_{\text{sol}} H^0(\text{Bi}_{12.5}\text{Dy}_{1.5}\text{CoO}_{22.325}) = -1017.0 \pm 7.5$ кДж/моль ($n = 6$). Энталпия растворения оксида висмута (Bi_2O_3) $\Delta_{\text{sol}} H^0(\text{Bi}_2\text{O}_3) = -115.6 \pm 4.4$ кДж/моль ($n = 6$). Погрешности были рассчитаны для 95%-ного доверительного интервала с использованием коэффициента Стьюдента.

Измеренные нами энталпии растворения $\text{Bi}_{12.5}\text{Dy}_{1.5}\text{CoO}_{22.325}$ и Bi_2O_3 были использованы для

определения стандартной энталпии образования соединения $\text{Bi}_{12.5}\text{Dy}_{1.5}\text{CoO}_{22.325}$ по следующей схеме:

$$\Delta_f H_9^0 = -\Delta_{\text{sol}} H_1^0 + 6.25\Delta_{\text{sol}} H_2^0 + 1.5\Delta_{\text{sol}} H_3^0 + \Delta_r H_4^0 + 6.25\Delta_r H_5^0 + 1.5\Delta_r H_6^0 - 7.15\Delta_r H_7^0 + 3.575\Delta_r H_8^0.$$

Для расчета стандартной энталпии образования помимо измеренных в работе данных необходимы данные по энталпиям реакций (3)–(8), т.е. $\Delta_{\text{sol}} H_3^0 - \Delta_r H_8^0$. Стандартные энталпии образования процессов (3)–(8) были заимствованы из работ [27, 28] и приведены ниже:

$$\Delta_{\text{sol}} H_3^0(\text{DyCl}_3) = -198.8 \pm 0.3 \text{ кДж/моль},$$

$$\Delta_r H_4^0(\text{CoCl}_2) = -383.7 \pm 2.1 \text{ кДж/моль},$$

$$\Delta_r H_5^0(\text{Bi}_2\text{O}_3) = -577.8 \pm 4.2 \text{ кДж/моль},$$

$$\Delta_r H_6^0(\text{DyCl}_3) = -995.8 \pm 8.4 \text{ кДж/моль},$$

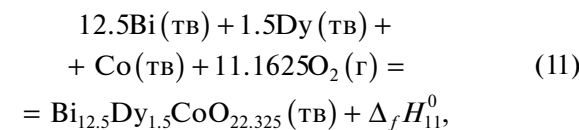
$$\Delta_r H_7^0(\text{HCl}) = -164.4 \pm 0.2 \text{ кДж/моль},$$

$$\Delta_r H_8^0(\text{H}_2\text{O}) = -285.85 \pm 0.04 \text{ кДж/моль} [27, 28].$$

Величина стандартной энталпии образования, рассчитанная с использованием полученных в работе экспериментальных данных, а также литературных данных, составила:

$$\begin{aligned} \Delta_f H^\circ(\text{Bi}_{12.5}\text{Dy}_{1.5}\text{CoO}_{22.325}) &= \\ &= -5338.8 \pm 19.9 \text{ кДж/моль}. \end{aligned} \quad (10)$$

Далее была рассчитана энталпия решетки. Для расчета энталпии решетки соединения $\text{Bi}_{12.5}\text{Dy}_{1.5}\text{CoO}_{22.325}$ использовали цикл Борна–Габера. Схема для расчета энталпии решетки приведена ниже:



$$12.5\text{Bi}^{3+}(\text{г}) = 12.5\text{Bi}(\text{тв}) + 12.5\Delta_r H_{12}^0, \quad (12)$$

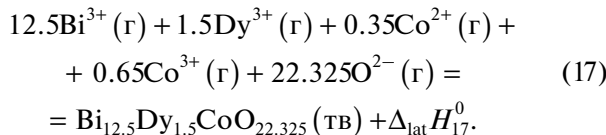
$$1.5\text{Dy}^{3+}(\text{г}) = 1.5\text{Dy}(\text{тв}) + 1.5\Delta_r H_{13}^0, \quad (13)$$

$$0.35\text{Co}^{2+}(\text{г}) = 0.35\text{Co}(\text{тв}) + 0.35\Delta_r H_{14}^0, \quad (14)$$

$$0.65\text{Co}^{3+}(\text{г}) = 0.65\text{Co}(\text{тв}) + 0.65\Delta_r H_{15}^0, \quad (15)$$

$$22.325\text{O}^{2-}(\text{г}) = 11.1625\text{O}_2(\text{г}) + 22.325\Delta_r H_{16}^0. \quad (16)$$

На основании реакций (12)–(16) можно записать следующую реакцию:



С использованием закона Гесса можно записать:

$$\begin{aligned} \Delta_{\text{lat}} H_{17}^0 = \Delta_f H_{11}^0 + 12.5\Delta_r H_{12}^0 + 1.5\Delta_r H_{13}^0 + \\ + 0.35\Delta_r H_{14}^0 + 0.65\Delta_r H_{15}^0 + 22.325\Delta_r H_{16}^0. \end{aligned}$$

Для расчета энталпии решетки нам потребуются энталпии образования, определенная в настоящей работе, и энталпии образования ионов висмута, диспрозия, кобальта и кислорода. Энталпии образования ионов взяты из справочника [28] и приведены ниже: $\Delta H^\circ(\text{Bi}^{3+}) = 4994.0 \text{ кДж/моль}$; $\Delta H^\circ(\text{Dy}^{3+}) = 4188.6 \text{ кДж/моль}$; $\Delta H^\circ(\text{Co}^{2+}) = 2749.2 \text{ кДж/моль}$; $\Delta H^\circ(\text{Co}^{3+}) = 5981.4 \text{ кДж/моль}$; $\Delta H^\circ(\text{O}^{2-}) = 905.8 \text{ кДж/моль}$.

С использованием представленных выше данных была рассчитана энталпия решетки:

$$\Delta_{\text{lat}} H^\circ(\text{Bi}_{12.5}\text{Dy}_{1.5}\text{CoO}_{22.325}) = -99020 \text{ кДж/моль}.$$

Ранее в работе [29] были определены стандартные энталпии образования кобальтидов висмута, замещенных неодимом и гольмием: $\text{Bi}_{12.5}\text{Nd}_{1.5}\text{CoO}_{22.325}$ и $\text{Bi}_{12.5}\text{Ho}_{1.5}\text{CoO}_{22.325}$. На основе измеренных стандартных энталпий образования были рассчитаны энталпии решеток этих соединений: $\Delta_{\text{lat}} H^\circ(\text{Bi}_{12.5}\text{Nd}_{1.5}\text{CoO}_{22.325}) = -98650 \text{ кДж/моль}$, $\Delta_{\text{lat}} H^\circ(\text{Bi}_{12.5}\text{Ho}_{1.5}\text{CoO}_{22.325}) = -99100 \text{ кДж/моль}$. Видно, что энталпия решетки увеличивается по абсолютной величине от неодима к гольмию. Это коррелирует с уменьшением радиуса РЗЭ от неодима к гольмию: $r(\text{Nd}^{3+}) = 0.1109 \text{ нм}$; $r(\text{Dy}^{3+}) = 0.1027 \text{ нм}$; $r(\text{Ho}^{3+}) = 0.1015 \text{ нм}$. Величины радиусов редкоземельных элементов взяты из работы [30]. На рис. 2 представлена зависимость энталпии решетки соединений $\text{Bi}_{12.5}\text{RE}_{1.5}\text{CoO}_{22.325}$ от радиуса РЗЭ.

Для объяснения увеличения энталпии решетки с уменьшением радиуса редкоземельного элемента обратимся к анализу формулы Капустинского:

$$U = 1070.9 \frac{m Z_a Z_k}{r_a + r_k},$$

где U – энергия решетки; m – количество ионов; Z_a – заряд аниона; Z_k – заряд катиона; r_a – радиус аниона; r_k – радиус катиона. Мы использовали систему ионных радиусов, взятых из работы Шеннона [30].

Как можно видеть, энергия решетки обратно пропорциональна радиусу катиона, поэтому при уменьшении радиуса катиона энергия решетки увеличивается.

Ранее в работе [22] нами была выведена модифицированная формула Капустинского. Показано, что для малых замещений энергия решетки является линейной функцией от радиуса редкоземельного элемента. Этим объясняется линейная зависимость энталпии решетки от радиуса РЗЭ, представленная на рис. 2.

Таким образом, в настоящей работе методом твердофазных реакций был синтезирован оксид вис-

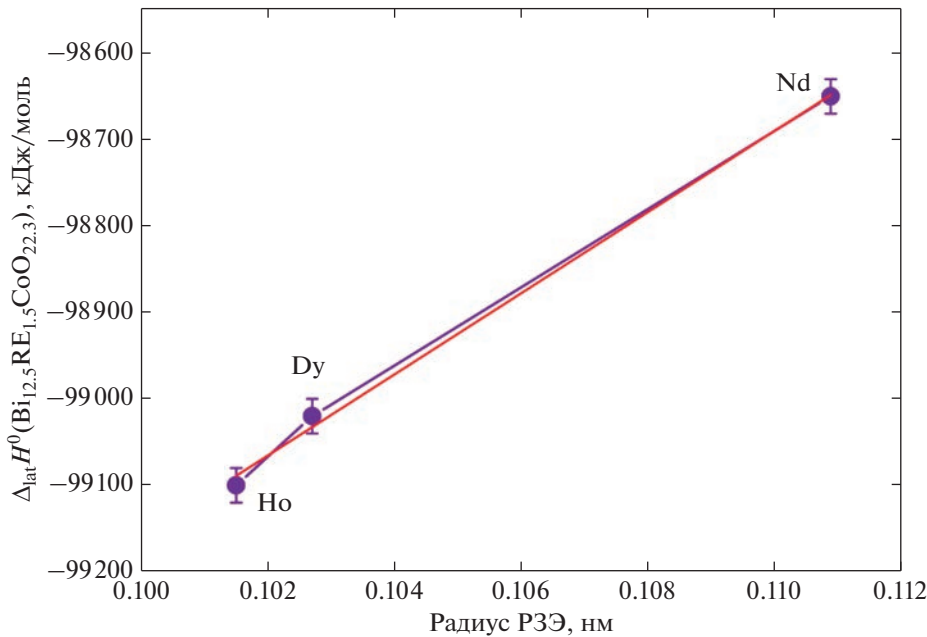


Рис. 2. Зависимость энталпии решетки для соединений $\text{Bi}_{12.5}\text{RE}_{1.5}\text{CoO}_{22.3}$ от радиуса редкоземельного элемента.

мута-кобальта-диспрозия состава $\text{Bi}_{12.5}\text{Dy}_{1.5}\text{CoO}_{22.325}$. Соединение имеет кубическую структуру, пр. гр. $Fm\bar{3}m$. Методом калориметрии растворения определена энталпия растворения $\text{Bi}_{12.5}\text{Dy}_{1.5}\text{CoO}_{22.325}$ в 1 М соляной кислоте и рассчитана стандартная энталпия образования. С использованием цикла Борна–Габера вычислена энталпия решетки. Показано, что энталпия решетки увеличивается по абсолютной величине с уменьшением радиуса редкоземельного элемента в ряду неодим–диспрозий–гольмий.

ЗАКЛЮЧЕНИЕ

Как показано в литературе, в ряде оксидных соединений кобальт имеет тетрагональное окружение. δ -Форма оксида висмута обладает самой высокой ионной проводимостью среди оксидных соединений. Для стабилизации δ -формы оксида висмута в настоящей работе методом твердофазных реакций синтезировано соединение состава $\text{Bi}_{12.5}\text{Dy}_{1.5}\text{CoO}_{22.325}$. Рентгенофазовый анализ показал, что полученное соединение обладает кубической структурой (пр. гр. $Fm\bar{3}m$). Для определения термодинамических характеристик использовали метод калориметрии растворения в 1 М соляной кислоте. На основе экспериментальных данных по энталпиям растворения оксида висмута и соединения $\text{Bi}_{12.5}\text{Dy}_{1.5}\text{CoO}_{22.325}$ определены стандартная энталпия образования и энталпия решетки вышеуказанного соединения. Сопоставление полученной энталпии решетки с энталпиями решетки для соединений $\text{Bi}_{12.5}\text{Nd}_{1.5}\text{CoO}_{22.325}$ и

$\text{Bi}_{12.5}\text{Ho}_{1.5}\text{CoO}_{22.325}$ показало, что энталпия решетки увеличивается по абсолютной величине с уменьшением радиуса РЗЭ в ряду неодим–диспрозий–гольмий. Полученную закономерность можно объяснить на основе формулы Капустинского для энергии решетки.

ФИНАНСИРОВАНИЕ РАБОТЫ

Настоящая работа поддержана Российским научным фондом (проект № 19-19-00095-П). Мацкевич Н.И., Семерикова А.Н., Гельфонд Н.В., Мацкевич М.Ю., Ануфриева О.И., Федоров А.А. благодаря Министерство науки и высшего образования РФ (проект № 121031700314-5) за использование калориметра.

КОНФЛИКТ ИНТЕРЕСОВ

Авторы заявляют, что у них нет конфликта интересов.

СПИСОК ЛИТЕРАТУРЫ

1. Crumpton T.E., Mosselmans J.F.W., Creaves C. // J. Mater. Chem. 2005. V. 15. P. 164.
<https://doi.org/10.1039/b412108m>
2. Yue Ya., Dziegielewska A., Zhang M. et al. // Chem. Mater. 2023. V. 35. P. 189.
<https://doi.org/10.1021/acs.chemmater.2c03001>
3. Gagarin P.G., Guskov A.V., Gavrilchev K.S. et al. // Russ. J. Inorg. Chem. 2022. V. 67. P. 2183.
<https://doi.org/10.1134/S0036023622602070>
4. Lomanova N.A. // Russ. J. Inorg. Chem. 2022. V. 67. P. 741.
<https://doi.org/10.1134/S0036023622060146>

5. Pandey P., Dixit P., Chauhan V. et al. // *J. Alloys Compd.* 2023. V. 952. P. 169911.
<https://doi.org/10.1016/j.jallcom.2023.169911>
6. Kaimieva O.S., Sabirova I.E., Buyanova E.S. et al. // *Russ. J. Inorg. Chem.* 2022. V. 67. P. 1348.
<https://doi.org/10.1134/S0036023622090054>
7. Jankovsky O., Sedmidubsky D., Leitner J. et al. // *Thermochim. Acta*. 2014. V. 582. P. 40.
<https://doi.org/10.1016/j.tca.2014.02.022>
8. Dmitriev A.V., Vladimirova E.V., Kellerman D.G. et al. // *J. Alloys Compd.* 2019. V. 777. P. 586.
<https://doi.org/10.1016/j.jallcom.2018.10.387>
9. Elovikov D.P., Tomkovich M.V., Levin A.A. et al. // *Russ. J. Inorg. Chem.* 2022. V. 67. P. 850.
<https://doi.org/10.1134/S0036023622060067>
10. Steblevskaya N.I., Belobeletskaya M.V., Medkov M.A. et al. // *Russ. J. Inorg. Chem.* 2022. V. 67. P. 1228.
<https://doi.org/10.1134/S0036023622080265>
11. Milewska K., Maciejewski M., Lapinski M. et al. // *J. Non-Cryst. Solids*. 2023. V. 605. P. 122169.
<https://doi.org/10.1016/j.jnoncrysol.2023.122169>
12. Balci M., Saatci B., Turk H. et al. // *Mater. Today Comm.* 2022. V. 33. P. 104542.
<https://doi.org/10.1016/j.mtcomm.2022.104542>
13. Crumpton T.E., Greaves C. // *J. Mater. Chem.* 2004. V. 14. P. 2433.
<https://doi.org/10.1039/b405770h>
14. Lv P., Huang F. // *RSC Advances*. 2019. V. 9. P. 8650.
<https://doi.org/10.1039/c8ra09565e>
15. Capoen E., Steil C., Boivin J.C. et al. // *Solid State Ionics*. 2006. V. 177. P. 483.
<https://doi.org/10.1016/j.ssi.2005.12.015>
16. Emel'yanova Yu.V., Mikhailovskaya Z.A., Buyanova E.S. et al. // *Russ. J. Appl. Chem.* 2017. V. 90. P. 354.
<https://doi.org/10.1134/S1070427217030053>
17. Krok F., Abrahams I., Holdynski M. et al. // *Solid State Ionics*. 2008. V. 179. P. 975.
<https://doi.org/10.1016/j.ssi.2008.02.015>
18. Hervoches C.H., Greaves C. // *Solid State Ionics*. 2014. V. 254. P. 1.
<https://doi.org/10.1016/j.ssi.2013.10.032>
19. Matskevich N.I., Wolf Th., Pischur D. et al. // *J. Therm. Anal. Calorim.* 2016. V. 124. P. 1745.
<https://doi.org/10.1007/s10973-016-5316-y>
20. Kekade S.S., Gaikwad P.V., Raut S.A. et al. // *ACS Omega*. 2018. V. 3. P. 5853.
<https://doi.org/10.1021/acsomega.8b00564>
21. Punn R., Feteira A.M., Sinclair D.C. et al. // *J. Am. Chem. Soc.* 2006. V. 128. P. 15386.
<https://doi.org/10.1021/ja065961d>
22. Matskevich N.I., Wolf Th., Greaves C. et al. // *J. Chem. Thermodyn.* 2015. V. 91. P. 234.
<https://doi.org/10.1016/j.jct.2015.07.036>
23. Minenkov Yu.F., Matskevich N.I., Stenin Yu.G. et al. // *Thermochim. Acta*. 1996. V. 278. P. 1.
[https://doi.org/10.1016/0040-6031\(95\)02801-3](https://doi.org/10.1016/0040-6031(95)02801-3)
24. Matskevich N.I., McCallum R.W. // *Thermochim. Acta*. 1999. V. 342. P. 41.
[https://doi.org/10.1016/s0040-6031\(99\)00314-7](https://doi.org/10.1016/s0040-6031(99)00314-7)
25. Matskevich N.I., Krabbes G., Berasteguie P. // *Thermochim. Acta*. 2003. V. 397. P. 97.
[https://doi.org/10.1016/S0040-6031\(02\)00330-1](https://doi.org/10.1016/S0040-6031(02)00330-1)
26. Kilday M.V. // *J. Res. Nat. Bur. Stand.* 1980. V. 85. P. 467.
27. Gunther C., Pfestorf R., Rother M. et al. // *J. Therm. Anal. Calorim.* 1988. V. 33. P. 359.
28. Termicheskie konstanty veshchestv (Thermal Constants of Substances) / Ed. Glushko V.P. M.: VINITI, 1965–1982. V. 1–10.
29. Matskevich N.I., Semerikova A.N., Samoshkin D.A. et al. // *Russ. J. Inorg. Chem.* 2022. V. 67. P. 1825.
<https://doi.org/10.1134/S0036023622600988>
30. Shannon R.D. // *Acta Crystallogr., Sect. A*. 1976. V. 32. P. 751.
<https://doi.org/10.1107/S0567739476001551>